

survivin 与 caspase - 3 在分化型甲状腺癌中的表达及其意义

申亚伟 李宗宇 马建仓 黄新 赵军

摘要 目的 研究 survivin 及 caspase - 3 在分化型癌组织中的阳性表达及两者的相互关系。方法 选取西安市中心医院 2010 年 1 月 ~ 2016 年 10 月间分化型甲状腺癌石蜡包埋标本 56 例。应用免疫组织化学法 (SP 法), 检测 survivin、caspases - 3 在分化型甲状腺癌中的表达。结果 结节性甲状腺肿组、甲状腺癌旁组 survivin 蛋白的表达差异无统计学意义 ($P > 0.05$) ; 结节性甲状腺肿组 survivin 表达与 DTC 组差异有统计学意义 ($P < 0.05$) ; 结节性甲状腺肿组、甲状腺癌旁组 caspase - 3 蛋白的表达经检验两者间差异无统计学意义 ($P > 0.05$) ; 结节性甲状腺肿组 caspase - 3 蛋白表达与 DTC 组 (30/56, 53.5%) 差异有统计学意义 ($P < 0.05$) ; survivin 和 caspase - 3 在 DTC I ~ II 期的阳性表达率与 DTC III ~ IV 期的阳性表达率及有无淋巴结转移组中比较, 差异有统计学意义 ($P < 0.05$) ; caspase - 3 差异无统计学意义 ($P > 0.05$) 。 survivin 表达与 caspase - 3 蛋白表达呈负相关 ($r = -0.325, P < 0.01$) 。结论 survivin 与 caspase - 3 介导的细胞凋亡途径参与了甲状腺癌的发生、发展过程。

关键词 Survivin Caspase - 3 分化型甲状腺癌 免疫组化

中图分类号 R3

文献标识码 A

DOI 10.11969/j.issn.1673-548X.2018.01.027

Expression and Significance of Survivin and Caspase - 3 in Differentiated Thyroid Carcinoma. Shen Yawei, Li Zongyu, Ma Jancang, et al. Central Hospital of Xi'an, Shaanxi 710000, China

Abstract Objective To evaluate the positive expression and the relationship of Survivin and caspase - 3 in differentiated carcinoma. **Methods** Fifty - six cases of paraffin - embedded specimens of differentiated thyroid carcinoma from January 2010 to October 2016 were selected from Xi'an Central Hospital. The expression of survivin and caspases - 3 in differentiated thyroid carcinoma was detected by immunohistochemistry (SP method). **Results** The expression of Survivin protein in nodular goiter group and thyroid carcinoma group was not significantly different ($P > 0.05$) . The expression of Survivin in nodular goiter group was significantly different from that in DTC group ($P < 0.05$) . The expression of caspase - 3 protein in the nodular goiter group was significantly higher than that in the DTC group (30/56, 53.5) , and the expression of caspase - 3 protein in the goiter group and thyroid carcinoma group was significantly different ($P < 0.05$) . The positive expression rate of survivin and caspase - 3 in DTC I - II was significantly different from that in DTC III - IV and lymph node metastasis ($P < 0.05$) . There was no significant difference in caspase - 3. ($P > 0.05$) . Survivin expression was negatively correlated with caspase - 3 protein expression ($r = -0.325, P < 0.01$) . **Conclusion** Survivin and caspase - 3 are involved in the development of thyroid carcinoma by apoptotic pathway

Key words Survivin ; Caspase - 3 ; Differentiated thyroid carcinoma; Immunohistochemistry

分化型甲状腺癌 (differentiated thyroid carcinoma, DTC) 是内分泌系统中最常见的一类恶性肿瘤, 目前 DTC 人群发生率为 1/25 万 ~ 1/30 万, 男女性别之比为 1:2 ~ 3^[1]。近年来, 随着分子生物学技术的迅猛发展, 基因及基因表达的研究成为癌症研究的热点。survivin 与 caspase - 3 是介导细胞凋亡途径的一类蛋白水解酶, 已证实参与了多种肿瘤的发生和发

展^[2]。笔者通过采用免疫组化的方法, 检测 survivin 与 caspase - 3 在 DTC 中的表达及分析二者的相互关系, 为进一步研究甲状腺癌的发病机制提供依据。

资料与方法

1. 一般资料: 选取西安市中心医院 2010 年 1 月 ~ 2016 年 10 月间术后石蜡包埋的分化型甲状腺癌标本 56 例。其中乳头状癌 48 例, 滤泡状癌 8 例, 癌旁正常组织标本各 28 例, 其中男性 19 例, 女性 37 例, 患者年龄 23 ~ 81 岁, 平均年龄 52.4 岁, 淋巴结转移 24 例, 无淋巴结转移 32 例。病理分期按 2002 年

基金项目: 陕西省社会发展科技公关项目 (2015SF068)

作者单位: 710000 西安市中心医院(申亚伟、黄新); 710000 西安交通大学第二附属医院(李宗宇、马建仓、赵军)

通讯作者: 黄新, 电子信箱: xinxinyellow@163.com

UICC 制定国际 TNM 分期^[3]: I 期 15 例, II 期 18 例, III 期 19 例和 IV 期 4 例。排除术前经过任何放疗、化疗及内分泌治疗的患者。另选取结节性甲状腺肿标本 29 例,其中男性 5 例,女性 24 例,患者年龄 25~81 岁,平均年龄 53.2 岁。癌旁组和结甲组认为正常组织标本,作为对照组。

2. 主要试剂和仪器:①兔抗人多克隆抗体 survivin、兔抗人多克隆抗体 caspase - 3、显色剂 DAB、SP 染色试剂盒均购于北京中杉金桥生物技术有限公司, PBS 缓冲液、DAB(3.3-二氨基联苯胺)酶底物显色试剂盒、甲醇-H₂O₂ 溶液均自行进行配置;②病理组织切片机(Shandon Citadel 2000HE);③医用微波炉(Leica 2045, 美国);④生物显微镜(Nikon, 日本);⑤-20℃ 低温冰箱(美菱 BCD-226A, 中国);⑥显微镜照相系统(Olympus-BH-2, 日本)。

3. 试验方法及结果判定:免疫组化方法采用 SP 法对目标蛋白进行染色。表达阳性病例判断参照 Pirolli 等的标准^[4]:在 40×10 高倍显微镜下观察计数,计数的方法每张切片随机选择 5 个视野,每个视野计数≥300 个。survivin、caspase - 3 阳性染色正常位于胞质内,为浅黄棕褐色颗粒,少数出现胞核染色。表

达阳性病例判断标准:阴性无染色,弱阳性(+)为染色浅或阳性细胞≤35%,中度阳性(++)为染色较深以及阳性细胞为 35%~60%(不包括 30%),染色较深以及阳性细胞>60% 为强阳性(+++)。

4. 统计学方法:应用 SPSS 17.0 统计学软件对数据进行统计分析。对于计数资料采用 χ^2 检验,两因素间的相关性采用 Spearman 等级相关检验分析,以 $P < 0.05$ 为差异有统计学意义。

结 果

1. survivin 和 caspase - 3 在不同甲状腺组织中的表达:survivin 在 DTC 中呈强阳性表达(表 1、图 1);结节性甲状腺肿组、甲状腺癌旁组 survivin 蛋白的表达两者间差异无统计学意义($P > 0.05$);结节性甲状腺肿组 survivin 蛋白表达与 DTC 组(39/49, 79.6%)差异有统计学意义($P < 0.05$)。caspase - 3 在 DTC 中呈弱表达(表 1, 图 2)。结节性甲状腺肿组、甲状腺癌旁组 caspase - 3 蛋白的表达两组间比较差异无统计学意义($P > 0.05$);结节性甲状腺肿组 caspase - 3 蛋白表达与 DTC 组(30/56, 53.5%)比较,差异有统计学意义($P < 0.05$)。

表 1 survivin 和 caspase - 3 在不同甲状腺组织细胞中的表达

组别	n	survivin 蛋白					caspase - 3 蛋白				
		-	+	++	+++	阳性率(%)	-	+	++	+++	阳性率(%)
结节性甲状腺肿	29	27	3	0	0	11.1	4	10	13	2	86.2
甲状腺癌旁组织	28	24	2	1	0	12.5	5	10	8	5	82.2
甲状腺癌组织	56	9	17	20	10	83.9*	26	13	14	3	53.5*
乳头状癌	48	8	15	18	7		24	11	11	2	
滤泡状癌	8	1	2	2	3		2	2	3	1	

与结节性甲状腺肿组比较, * $P < 0.05$

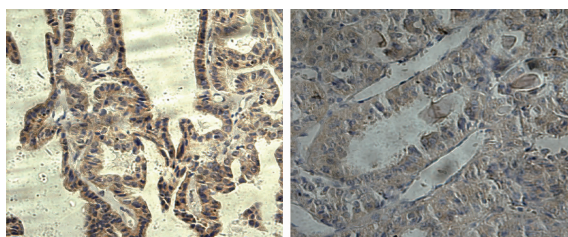


图 1 乳头状甲状腺癌和滤泡状甲状腺癌中 survivin 强阳性表达
免疫组织化学, ×400

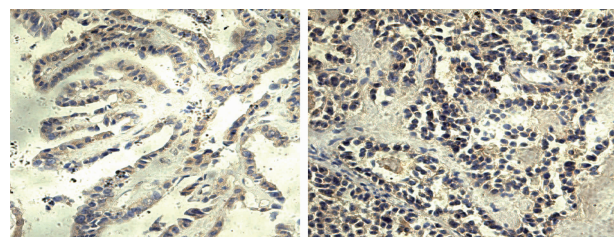


图 2 乳头状甲状腺癌和滤泡状甲状腺癌中 caspase - 3 弱阳性表达
免疫组织化学, ×400

2. survivin 和 caspase - 3 与 DTC 临床病理分期的关系:survivin 和 caspase - 3 在 DTC 临床分期阳性表达率差异有统计学意义($P < 0.05$);在有无淋巴结

转移表达率差异有统计学意义($P < 0.05$), caspase - 3 差异无统计学意义($P > 0.05$, 表 2)。

表2 survivin 和 caspase - 3 在不同临床特点中的表达

临床特点	n	survivin 蛋白					P	caspase - 3 蛋白					P
		-	+	++	+++	阳性率(%)		-	+	++	+++	阳性率(%)	
临床分期													
I ~ II期	29	10	8	6	3	65.5		11	7	9	2	62.1	
III ~ IV期	27	3	6	11	7	88.9	<0.05	14	5	7	1	48.1	<0.05
淋巴转移													
有	31	2	11	12	6	93.5		15	9	5	2	51.6	
无	25	10	7	6	2	60.0	<0.05	12	6	5	2	52.0	>0.05

3. survivin 和 caspase - 3 在 DTC 表达中的相关性: survivin 表达与 caspase - 3 蛋白表达呈负相关 ($r = -0.325, P < 0.01$), 即在甲状腺癌中 survivin 蛋白表达越高, 相应 caspase - 3 蛋白表达越低(表3)。

表3 survivin 和 caspase - 3 蛋白在甲状腺癌中的相互关系(n)

survivin 表达	n	caspase - 3 表达	
		阳性	阴性
阳性	36	25	11
阴性	20	12	8

讨 论

近年来临床观察发现 DTC 发生率呈逐年上升趋势, 但其发病机制目前尚不完全清楚。目前研究证实细胞的信号凋亡通路的异常与其发病机制密切相关^[5]。本实验通过免疫组化的方法, 研究凋亡途径中的两个重要蛋白 survivin 和 caspase - 3 在结节性甲状腺肿、癌旁组织中及分化型甲状腺癌中的表达及其相关性, 为进一步阐明及探索 DTC 的发病基础提供线索。目前研究发现 survivin 是细胞凋亡途径中主要的抑制分子, 可以抑制细胞的凋亡发生, 延缓细胞的寿命, 是细胞凋亡途径中的关键分子^[6]。survivin 的过度表达的结果是细胞不断增殖, 死亡减少, 参与了肿瘤的恶性增生和发展^[7]。研究发现, 多数肿瘤增生细胞中均可检测到 survivin 的表达^[8]。因此, 探索其参与凋亡途径中的作用发现, survivin 的表达可能与阻断细胞分裂相有关^[9]。

研究发现, 试验中在细胞分离过程中加入阻断剂, 可以分别将 Hela 细胞阻断在 G₁ 期、S 期、G₂/M 期, 然后检测 survivin 在细胞中的表达, 其结果可上调 40 倍^[10]。survivin 端粒启动子的独特之处在于含有细胞周期依赖素 (CDE) 和细胞周期同源区域 (CHR), 这些区域与典型的 G₂/M 期特征表达基因具有一致性^[11]。因此, 通过这一研究发现, survivin 蛋白可能在细胞分裂过程中通过阻断 G₁ 期调节蛋白,

进而抑制细胞增生基本启动子, 从而保持细胞分裂周期的延长, 促进细胞增殖。大量研究表明, survivin 蛋白与多种肿瘤的发生相关, 不仅高表达于甲状腺, 还可在子宫、胃组织、结直肠中高表达^[12]。有研究通过分析 survivin 参与的凋亡途径与恶性间皮组织及食管癌发生的研究中发现, survivin 在肿瘤细胞中的表达高于炎性组织, 正常组织中的表达, 提 survivin 参与的凋亡途径参与了肿瘤的发生机制^[13,14]。另外有研究者发现, survivin mRNA 在正常组织中未被检出, 而在肿瘤组织则表现为高表达, 且和肿瘤的分期早晚密切相关, 表现为分期愈晚, 其阳性表达愈强^[15]。这与笔者的研究结果基本相似, survivin 在结节性甲状腺肿组、甲状腺癌旁组 survivin 蛋白的表达阳性例数分别为 2/20 (10.0%), 10/49 (20.4%), 阳性表达率较低, 且染色较弱, 而在甲状腺癌组的阳性表达率为 (39/49, 79.6%), 染色较强, 差异有统计学意义 ($P < 0.05$), 且其和分化型甲状腺癌的分期及淋巴结转移相关, 在 III 和 IV 期中表达率为 88.9%, 有淋巴结转移的组中表达率为 93.5%, 分期愈晚, 淋巴结转移的标本中 survivin 的表达愈强, 其表达率远远高于分期较早和无淋巴结转移的患者标本 (I ~ II 期为 65.5, 无淋巴结转移 60.0%)

caspase - 3 (半胱天冬酶 - 3) 是参与细胞凋亡信号途径的另一种重要信号分子, 其在凋亡信号途径中起着关键作用, 其在多种组织肿瘤细胞中广泛表达^[16]。研究表明, caspase - 3 在参与细胞凋亡途径中处于路径的下游, 多种因素参与的细胞凋亡途径启动后, 其下游的信号分子 caspase - 3 等被激活, 从而参与降解底物促使细胞凋亡。凋亡信号途径中, caspase 活化后可被 survivin 抑制, 并且 survivin 对 caspase - 3 的前体酶形式和活化形式均有抑制作用^[17]。有研究者用免疫组化方法证明 survivin 与 caspase - 3 在非小细胞肺癌中的表达水平呈负相关, 证实 survivin 在凋亡途径中通过抑制 caspase - 3 的激活, 从而抑制细胞凋亡, 破坏细胞增殖与凋亡的平衡,

参与了肿瘤的发生和发展。

本研究结果显示,在结节性甲状腺肿的患者标本中 caspase - 3 的表达为 86.2%, 大于甲状腺癌旁组织 82.2% 和分化型甲状腺的 53.5%, 说明 caspase - 3 可以促进组织细胞凋亡,但在肿瘤组织中其表达降低,从而使肿瘤的凋亡途径受到抑制,导致细胞过度增殖。且通过本实验证明 caspase - 3 在分期愈晚和恶性程度愈高的癌症组织中表达率愈低。另外,笔者通过分析 survivin 和 caspase - 3 在分化型甲状腺癌中的表达相关性,证实 survivin 蛋白的阳性表达与 caspase - 3 蛋白的阳性表达有显著相关性 ($P < 0.01$),且呈负相关, survivin 蛋白表达愈高的甲状腺癌组中 caspase - 3 表达越低,因此可以认为 survivin 抑制了 caspase - 3 的激活,从而导致细胞的恶性增殖,导致正常细胞发展为肿瘤细胞;

目前的肿瘤与信号途径的研究中,关于甲状腺癌中 survivin 及 caspase - 3 的研究未见报道,但其表达与其他肿瘤的关系发已获得一些有意义的结果。通过本实验可见 survivin 的高表达及同步 caspase - 3 的表达下降与分化型甲状腺癌的发生、发展和转移有重要的关系。由于经费的不足、科研实验器材的限制,本实验仅采用免疫组织化学的方法进行研究,如果能够进一步从基因的角度研究,可能会得到凋亡途径中二者更确切的数据。总而言之,就目前研究表明, survivin 及 caspase - 3 在分化型甲状腺癌的发生、发展过程中起到了重要作用。

参考文献

- 1 伍波,樊友本. 我国甲状腺癌治疗现状:不足、不规范和过度并存[J]. 中华内科杂志, 2017, 1(56): 11-14
- 2 张丹,吕亮,申兴斌,等. 大肠癌中 survivin、NF- κ B 及 caspase - 3 的表达及意义[J]. 中国老年医学杂志, 2017, 2(37): 549-552

(上接第 15 页)

- 14 Lee SY, Kwon S, Kim KH, et al. Expression of vascular endothelial growth factor and hypoxia-inducible factor in the airway of asthmatic patients[J]. Ann Allergy Asthma Immunol, 2006, 97(6): 794-799
- 15 Park SJ, Lee KS, Kim SR, et al. AMPK activation reduces vascular permeability and airway inflammation by regulating HIF/VEGFA pathway in a murine model of toluene diisocyanate-induced asthma[J]. Inflamm Res, 2012, 61(10): 1069-1083
- 16 Kim SR, Lee KS, Lee KB, et al. Recombinant IGFBP-3 inhibits allergic lung inflammation, VEGF production, and vascular leak in a mouse model of asthma[J]. Allergy, 2012, 67(7): 869-877
- 17 Rajakumar A, Whitelock KA, Weissfeld LA, et al. Selective overexpression of the hypoxia-inducible transcription factor, HIF-2alpha, in placentas from women with preeclampsia[J]. Bio Reprod, 2001, 357(1): 499-506
- 18 Liu W, Wang SJ, Lin QD. Study on the expressions of PHD and HIF

- 3 Kitahara CM, Sosa JA. The changing incidence of thyroid cancer [J]. Nat Rev Endocrinol, 2016, 12(11): 646-653
- 4 张丹,马瑞,林从尧. 甲状腺癌组织中 Surin 蛋白的表达及其意义的 Meta 分析[J]. 医学综述, 2016, 10(22): 1973-1980
- 5 郭丽霞,兰丽丽,胡兆鹏,等. 血管内皮生长因子、S100A4 及生存素在甲状腺癌组织中的表达及其意义[J]. 中国基层医药, 2016, 10(23): 1479-1482
- 6 史永亮. 血清 survivin 及抗体在甲状腺乳头状瘤诊断中的临床价值[J]. 河北医药, 2013, 12(35): 1854-1855
- 7 Wiedemuth R, Klink B, Topfer K, et al. Survivin safeguards chromosome numbers and protects from aneuploidy independently from PI3CA and survivin in primary adenosquamous lung carcinoma[J]. Med Oncol, 2014, 31(6): 983-985
- 8 Yu S, Zhang Z, Zhang B, et al. Clinical significance of PI3CA and survivin in primary adenosquamous lung carcinoma[J]. Med Oncol, 2014, 31(6): 983-985
- 9 田忠成,邵飞飞,党雪菲,等. Survivin 在甲状腺癌中的表达及临床意义[J]. 中国实验诊断学, 2014, 3(18): 390-393
- 10 Shintani M, Sangawa A, Yamao N, et al. Immunohistochemical expression of nuclear and cytoplasmic survivin in gastrointestinal carcinoma[J]. Int J Clin Exp Pathol, 2013, 6(12): 2919-2927
- 11 Gu Y, Jin S, Wang F. Clinicopathological significance of PI3K, Akt and survivin expression in gastric cancer[J]. Biomed Pharmacother, 2014, 68(4): 471-475
- 12 Grutter MG. Caspase: key players in programmed cell death[J]. Curr Opin Struct Biol, 2000, 10(6): 649-655
- 13 Boidot R, Vegran F, Lizard-Nacol S. Transcriptional regulation of the survivin gene[J]. Mol Biol Rep, 2014, 41(1): 233-240
- 14 郑国文. 大肠癌中 LIVIN 和 Survivin 的表达及相关性研究[J]. 实用医院临床杂志, 2014, 11(2): 86-87
- 15 常玉珍,李秀梅,封敏,等. survivin、NF- κ B 和 STAT-3 mRNA 在宫颈癌中的表达及其临床意义[J]. 癌变·畸变·突变, 2014, 26(3): 189-192
- 16 崔东旭,朱立君,刘宝林. 胆管癌中 Livin 蛋白和血管内皮生长因子的表达及与 caspase - 3 的相关性研究[J]. 现代肿瘤医学, 2010, 18(6): 1165-1167
- 17 王传艳,孟令新,丁兆军. PTEN, survivin 和 caspase - 3 在食管鳞癌中的表达[J]. 现代肿瘤医学, 2015, 23(4): 493-496

(收稿日期:2017-03-28)

(修回日期:2017-04-27)

- 18 in placentas from normal pregnant women and patients with preeclampsia[J]. Int J Biol Sci, 2014, 10(3): 278-284
- 19 Sandoval RM, Wagner MC, Patel M, et al. Multiple factors influence glomerular albumin permeability in rats[J]. Journal of the American Society of Nephrology Jasn, 2012, 23(3): 447-457
- 20 Zeng H, He X, Tuo Q, et al. LPS causes pericyte loss and microvascular dysfunction via disruption of Sirt3/angiopoietins/Tie-2 and HIF-2 α /Notch3 pathways[J]. Sci Rep, 2016, 12(6): 20931
- 21 Jing D, Wobus M, Poitz DM, et al. Oxygen tension plays a critical role in the hematopoietic microenvironment in vitro[J]. Haematologica, 2011, 97(3): 331-339
- 22 Ding M, Coward RJ, Jeansson M, et al. Regulation of hypoxia-inducible factor 2- α is essential for integrity of the glomerular barrier[J]. Am J Physiol - Renal Physiol, 2013, 304(1): F120

(收稿日期:2017-03-22)

(修回日期:2017-04-08)